

## 三主応力下における砂のストレス・ダイレイタンシー関係について

山口大学工学部 正員 安福規之 村田秀一 兵動正幸

山口大学大学院 学生員○伊東周作 伊達勇治

### 1. はじめに

筆者らは、過去に中空せん断試験機を用いて、三主応力下における等方圧密砂の変形・降伏挙動の実験的検討を行ってきた<sup>1)</sup>。本報告では、これらの実験結果をストレス・ダイレイタンシー関係に注目して整理すると共に、新たに異方圧密砂にみられるストレス・ダイレイタンシー関係について検討を加えた。

### 2. 試験方法

1) 中空せん断試験機 --- 本報告では、高さ20cm、外径10cm、内径6cmの中空円筒形の供試体を有する中空せん断試験機を用い、三主応力制御型の実験を行った。供試体への載荷は、軸荷重、外圧、内圧、背圧の4系統により行われ、ここではトルクを負荷していない。また内容積の測定を行うことにより、半径、円周方向のひずみ量を測定を可能にした。

2) 供試体作成方法 --- 今回用いた試料は、秋穂砂 ( $G_s=2.65, e_{nax}=1.05, e_{min}=0.80$ ) である。供試体作成は空中落下法を採用し ( $e_0=0.78$ )、炭酸ガスと脱気水を通し、飽和させる方法で行った。メンブレンの厚さは、外・内側共に0.5mmである。

3) 実験計画 --- 実験は、すべて内圧、外圧及び軸荷重を制御することにより行っており、制御のために必要な実験手順及び式は割愛した<sup>2)</sup>。また図-1は、本報告で行った実験計画を示したものである。

TYPE Aは、点2( $p=1\text{kgf/cm}^2$ )まで等方圧密後、 $p$ 一定、 $\theta$ 一定( $0^\circ, 15^\circ, 30^\circ, 45^\circ, 60^\circ, 90^\circ, 120^\circ, 150^\circ, 180^\circ$ )のせん断試験を行うものである。一方TYPE Bは、 $\theta=0^\circ$ ( $b=0.0$ )上を点1まで応力比 $\eta$ (= $q/p'$ )=0.6で異方圧密した後、点2まで除荷し、同様に $p$ 一定、 $\theta$ 一定のせん断試験を行うものである。

### 3. 実験結果と考察

1) 等方圧密砂のストレス・ダイレイタンシー関係 --- 図-2は、TYPE A-30°の $\eta$ - $d\gamma/d\gamma_{oct}$ 関係を示したものである。図に示されるストレス・ダイレイタンシー関係は、多少の乱れは見られるが、少なくとも応力比の高い部分では直線的な関係がみられた。さらに図-3(a), (b)は、この関係を直線近似し、切片Mと勾配 $m_s$ をb値に対してプロットしたものである。この図に示した結果より、 $\eta$ - $d\gamma/d\gamma_{oct}$ 関係にみられる切片Mと勾配 $m_s$ は、b値のみに依存しロード・アンギル $\theta$ に依存しないことがわかる。

2) 异方圧密砂のストレス・ダイレイタンシー関係 --- 図-4(a), (b)は、TYPE B-30°, TYPE B-120°の $\eta$ - $d\gamma/d\gamma_{oct}$ 関係を示したものである。TYPE B-30°では、低い応力域において異方圧密履歴の影響がみられるが、TYPE B-120°では、TYPE A TYPE Bともほぼ一致しており、 $\theta=0^\circ$ 方向に異方圧密した影響が見られない。

3) 応力比-ひずみ増分比関係の予測 --- 図-5は、提案 $\gamma$ による誘導された応力比-ひずみ増分比関係式にSmoothed Mohr-Coulombの破壊規準を組み込んだ上で、TYPE A-120°の実験結果を予測したものである。提案 $\gamma$ による応力比-ひずみ増分比関係式は、式(1)で示される。Mは、最大体積収縮時の応力比 $\eta$ を示し、図-2で示したそれと一致する。

$$d\gamma/d\gamma_{oct} = \frac{M^2 - \eta^2}{C \cdot \eta} \quad (1)$$

ここで、 $\theta=0^\circ$ でのMを $M_c$ とした場合、M( $\theta$ )と $M_c$ の関係は、式(2)のようになる。なお $g(\theta)$ は、正八面体面上のSmoothed Mohr-Coulomb破壊規準の形状を示し、式(3)で与えられる。

$$M(\theta) = M_c \cdot g(\theta) \quad (2)$$

$$g(\theta) = \frac{1}{\sqrt{3 \cdot K \cdot \sin \theta + \cos \theta}} \quad (3)$$

図に示した予測結果は、 $\theta=120^\circ$ までは実験結果と比較的よい対応がみられ、特に応力比が高くなるに従って、実験結果との対応はよくなっている。

### 4. まとめ

1) 等方圧密砂のストレス・ダイレイタンシー関係は、b値のみに依存しロード・アンギル $\theta$ に依存しないことが示された。

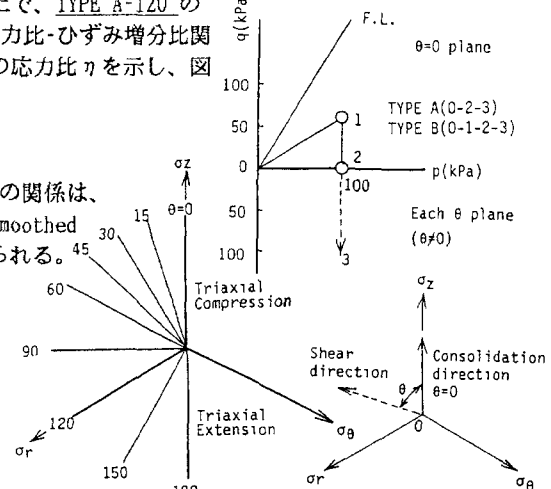


図-1 応力経路

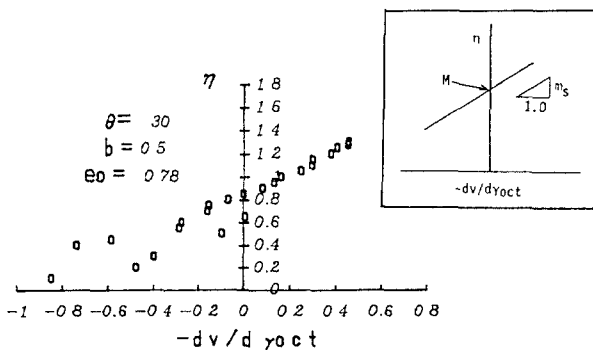


図-2 等方圧密砂のストレス・ダイレイタンシ-関係

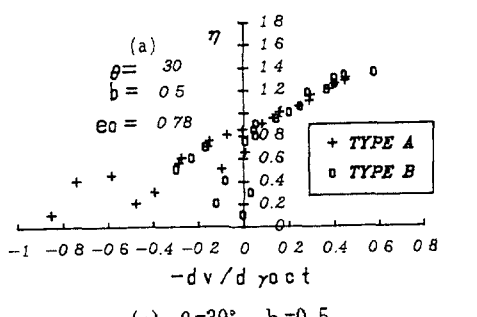
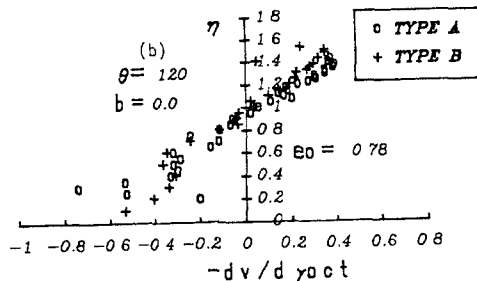
(a)  $\theta=30^\circ$ ,  $b=0.5$ (b)  $\theta=120^\circ$ ,  $b=0.0$ 

図-4 異方圧密砂のストレス・ダイレイタンシ-関係

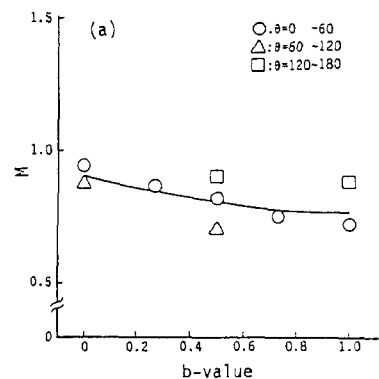
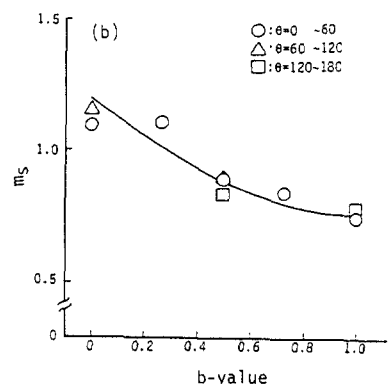
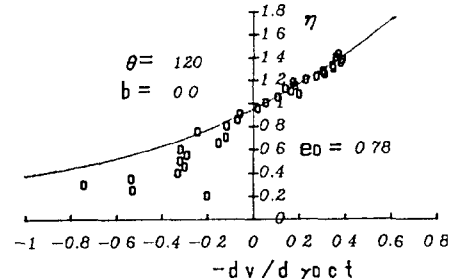
(a)  $b$  値と  $M$  の関係(b)  $b$  値と  $ms$  の関係図-3  $b$  値と  $M$  及び  $ms$  の関係

図-5 ストレス・ダイレイタンシ-関係の予測

- 2) ストレス・ダイレイタンシ-関係にみられる異方圧密の影響は、異方圧密方向からせん断方向が離れるに従って消失し、直線的な関係がみられた。
- 3) 提案モデル（等方硬化モデル）によるストレス・ダイレイタンシ式を三主応力下に拡張した場合、等方圧密後のせん断試験結果とよい対応のあることが示された。

参考文献 1) 安福ら：三主応力下における等方圧縮砂の降伏挙動について、第44回土木学会年次学術講演会、pp.480-481、1989。2) 安福ら：中空ねじりせん断試験機の試作とその適用について、第41回土木学会中国四国支部研究発表会、1989。3) Yasuhuku, N. et.al.,: "Yield characteristics of anisotropically consolidated sand under low and high stresses , Soils and Foundations, (to be submitted)"